

водных  $\text{CO}_2$ -лазеров составляют 100—250 Тор. Максимальные значения диапазонов перестройки частоты излучения и выходной мощности волноводных  $\text{CO}_2$ -лазеров достигаются при токах разряда  $i$ , удовлетворяющих условию  $i < S \cdot 100 \text{ мА}$  [5]. Рассмотренные зависимости рис. 2 показывают, что для лазера с сечением  $S_2$  характерно совпадение условий существования колебаний и рабочих значений давления смеси и разрядного тока.

На рис. 3б приведена зависимость глубины модуляции выходной мощности лазера с сечением  $S_2$  колебаниями разряда от величины разрядного тока. Видно, что глубина модуляции может достигать заметного ( $\geq 1\%$ ) уровня. Этот факт позволяет рассматривать бегущие страты в разряде как один из основных источников флуктуаций выходной мощности в лазерах данного типа.

В работе также исследовалось воздействие бегущих страт на частотные флуктуации волноводных  $\text{CO}_2$ -лазеров. В пределах чувствительности аппаратуры, позволяющей регистрировать спектральные компоненты; дающие вклад в ширину линии излучения лазера  $\geq 50 \text{ кГц}$ , влияния бегущих страт на частотные флуктуации не обнаружено.

## ЛИТЕРАТУРА

1. Shofner F. M. — IEEE J. Quant. Electr., 1971, 7, № 6, p. 245.
2. Тучин В. В.—Сер. Квантовая электроника.— М.: ЦНИИ Электроника, 1976, вып. 5 (424).
3. Смирнов Е. А.—Изв. Ленинградского электротехнического ин-та, 1978, № 237, с. 75.
4. Zimmerman J., Caddy O. — IEEE J. Quant. Electr., 1974, 10, № 1, p. 92.
5. Гончуков С. А., Корнилов С. Т., Проценко Е. Д.—ЖТФ, 1978, 48, с. 556.
6. Гуськов Л. Н., Сологуб В. П., Трошин Б. И.—Оптика и спектроскопия, 1976, 40, с. 170.

Московский инженерно-физический институт

Поступила в редакцию  
25 декабря 1980 г.

УДК 621.373.8

## УШИРЕНИЕ ВРАЩАТЕЛЬНЫХ ЛИНИЙ $\text{AsH}_3$ ДАВЛЕНИЕМ ГАЗА

В. П. Казаков, А. Ф. Крупнов, А. А. Мельников

Столкновительное уширение спектральных линий дает информацию о межмолекулярных взаимодействиях и активно исследуется в последнее время [1]. Знание величины уширения линий необходимо также для точного расчета интенсивности вращательных спектральных линий поглощения молекул (в частности, при определении концентрации исследуемого вещества при химическом анализе [2]). В настоящей работе описывается экспериментальное исследование уширения при комнатной температуре вращательных линий давлением газа для основного и возбужденных состояний.  $v_2 = 1$ ,  $v_4 = 1$  молекулы  $\text{AsH}_3^*$ . Молекула арсина представляет собой легкий симметричный волчок, вращательный спектр которого расположен в субмиллиметровом диапазоне длин волн. При исследовании уширения и сдвига вращательных линий арсина использовался субмиллиметровый спектрометр РАД [4]. Дипольный момент молекулы арсина мал ( $\mu = 0,22 \text{ Деб}$  [5]), что ведет к малой интенсивности линий и, как правило, к малым значениям сдвига и уширения линий, повышающим требования к точности проводимых измерений. Исследования затрудняются также наличием протяженной сверхтонкой структуры каждого вращательного перехода  $J + 1 \leftarrow J$ , обусловленной большим квадрупольным моментом ядра As. С целью повышения чувствительности (особенно необходимой при исследовании относительно слабых линий возбужденных состояний  $v_2 = 1$ ,  $v_4 = 1$  молекулы при комнатной температуре, когда  $\gamma_{\text{max}}$  на несколько порядков меньше, чем в основном состоянии) использовалась ячейка поглощения в виде большого ненастраиваемого резонатора [6]. При этом, разумеется, контролировалось выполнение условия малости оптической толщи газа ( $\gamma_{\text{max}} l_{\text{эфф}} \ll 1$ , где  $\gamma_{\text{max}}$  — коэффициент поглощения газа,  $l_{\text{эфф}}$  — эффективная длина пути взаимодействия), необходимое для неискаженной передачи формы линии. Эффективная длина резонатора определялась из выигрыша в чувствительности, а коэффициент поглощения линий рассчитывался обычным образом [7] с учетом уточненного в три раза экспериментального параметра уширения по сравнению с принятым в [8]. Наличие сверхтонкой структуры вынуждало проводить исследования по отдельным хорошо разрешенным квадруполь-

\* Исследование сдвига компонент перехода  $J = 1 \leftarrow 0$  молекулы  $\text{AsH}_3$  проводилось нами ранее [3].

ным компонентам спектральных линий и ограничивало область давлений до  $p \lesssim (1 \div 3 \text{ Тор})$ . При более высоких давлениях наблюдается взаимное влияние крыльев относительно близко расположенных (30–40 МГц в переходе  $J = 1 \leftarrow 0$ , в переходах  $J = 2 \leftarrow 1$ ,  $3 \leftarrow 2$ ,  $4 \leftarrow 3$  еще меньше) компонент, что приводит к необходимости коррекции измеряемых частот

Давление в поглощающей ячейке измерялось мембранным манометром, погрешность которого составляла несколько процентов (такова воспроизводимость результатов измерения уширения линий в разное время при воспроизведении величины давления газа). Линии наблюдались при частотной модуляции источника в виде производной от контура поглощения [4], измерялось расстояние от центрального нуля до пика производной ( $\nu_0 - \nu_{\text{max}}$ ) и в предположении лоренцевой формы линии полуширина по уровню половинной интенсивности рассчитывалась как  $\Delta\nu = \sqrt{3}(\nu_0 - \nu_{\text{max}})$ . Независимость уширения от величины используемой девиации частоты контролировалась измерениями при разных величинах девиации, что необходимо особенно в области низких давлений. Результаты экспериментальных зависимостей полуширины линий поглощения от давления газа перехода  $J = 1 \leftarrow 0$  для основного и одного из возбужденных состояний ( $\nu_4 = 1$ ) молекулы арсина приведены на рис. 1 и 2 (для  $\nu_4 = 1$  приведены данные отдельно по каждой из трех квадрупольных компонент). Величины параметров

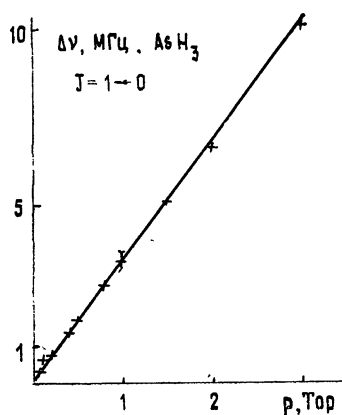


Рис. 1.

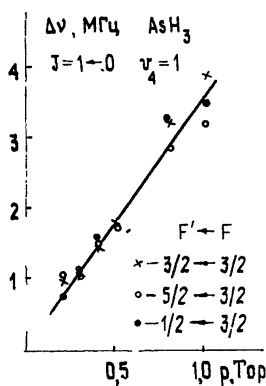


Рис. 2

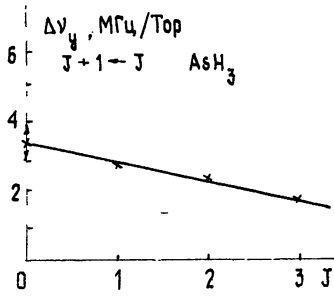


Рис. 3.

Рис. 1. Столкновительное уширение давлением  $\text{AsH}_3$  в основном состоянии при  $T \approx 295 \text{ К}$ . Указана экспериментальная ошибка при  $p = 1 \text{ Тор}$ .

Рис. 2. Уширение  $\text{AsH}_3$  в возбужденно-колебательном состоянии  $\nu_4 = 1$  при комнатной температуре.

Рис. 3. Экспериментальная зависимость уширения вращательных линий  $J + 1, K \leftarrow J, K$   $\text{AsH}_3$  в основном состоянии от  $J$  ( $J = 0, 1, 2, 3$ ).

уширений (полуширина линии на единицу давления) переходов  $J = 1 \leftarrow 0$   $\text{AsH}_3$ , определенные по наклону линейных зависимостей рис. 1, 2, составляют  $\Delta\nu_y = 3,38$  (30)  $\text{МГц/Тор}$  в основном состоянии,  $\Delta\nu_y = 3,35$  (40)  $\text{МГц/Тор}$  в возбужденном состоянии  $\nu_2 = 1$  и  $\Delta\nu_y = 3,37$  (40)  $\text{МГц/Тор}$  в возбужденном состоянии  $\nu_4 = 1$ . Зависимость параметра уширения вращательных линий  $J + 1, K \leftarrow J, K$  ( $J = 0, 1, 2, 3, K = 0$ ) арсина от величины вращательного квантового числа  $J$  приведена на рис. 3. На графике указана экспериментальная ошибка параметра уширения для  $J = 0$ .

Уменьшение уширения с ростом  $J$  согласуется с имеющимися данными для других молекул типа симметричного волчка (см., например, [9]).

#### ЛИТЕРАТУРА

1. Krishnaji—J. Sci. Ind. Res., 1973, 32, p. 168.
2. Девятых Г. Г., Андреев Б. А., Гушина Е. А., Забурдаев А. И., Крупнов А. Ф., Пихтелев А. И., Шапин С. М.—ДАН СССР, 1978, 239, с. 1132.
3. Казаков В. П., Крупнов А. Ф., Мельников А. А.—Изв. вузов—Радиофизика, 1980, 23, № 9, с. 1126.
4. Крупнов А. Ф.—Вестник АН СССР, 1978, № 7, с. 18.

- 5 Microwave spectral tables, NBS, 1968, IV, p. 3  
 6. Казаков В. П.— Изв. вузов — Радиофизика, 1980, 23, № 7, с. 877.  
 7. Таунс Ч., Шавлов А. — Радиоспектроскопия, М. — ИЛ, 1959.  
 8. Helms D. A., Gordy W. — J. Mol. Spectr., 1978, 69, p 473.  
 9. Wensink W. A. Thesis Utrecht University, 1979.

Институт прикладной физики  
 АН СССР

Поступила в редакцию  
 3 февраля 1981 г.

УДК 538.56 : 519.25

## ПРИМЕНЕНИЕ МАРКОВСКОГО ПРИБЛИЖЕНИЯ В СЛУЧАЕ ФЛУКТУАЦИЙ ИЗЛУЧЕНИЯ, РАССЕЯННОГО СИСТЕМОЙ КРУПНЫХ ЧАСТИЦ

А. Г. Рогачевский

До последнего времени марковские уравнения для моментов излучения исследовались, в основном, в случае плавно неоднородных сред (ПС) [1]. В работе [2] получены марковские уравнения для моментов излучения, рассеянного системой частиц, находящихся в ПС. При этом предполагается, что частицы много больше длины волны; ПС и частицы предполагаются статистически независимыми

Рассмотрим асимптотические решения уравнений работы [2] в случае узконаправленных пучков. Будем пренебрегать «широкоугольной» компонентой  $U_{\Pi}$  поля излучения, обусловленной преломлениями и отражениями на частицах среды. Это возможно, в частности, для оптически жестких частиц, т. е. при  $|n-1| \gg 1$ , где  $n$  — показатель преломления. В важном случае, когда частицы рассеивают в свою зону Фраунгофера, достаточно условия  $\theta_a \ll |n-1|$  [3, 4], где  $\theta_a \sim (ka)^{-1}$  — угол дифракции,  $k$  — волновое число,  $a$  — размер частиц. В этом случае приближение  $U_{\Pi} = 0$  может быть названо дифракционным.

1. Сначала рассмотрим общий случай частиц в ПС, предполагая, что  $a \ll l$ , где  $l$  — радиус когерентности излучения в ПС без частиц. Это условие может выполняться, например, в атмосферной оптике при наличии осадков в турбулентности одновременно. Пусть  $U(\rho, z) = v(\rho, z) \exp(ikz)$  — поле излучения в такой двухфазной среде. На примере второго момента  $\Gamma_{1,1} = \langle v(\rho', z) v^*(\rho'', z) \rangle$  покажем, что решение марковских уравнений сводится к нахождению моментов в случае ПС без частиц и в случае частиц в пустом пространстве. Будем искать  $\Gamma_{1,1}$  в виде  $\Gamma_{1,1}(\rho', \rho'', z) = \Gamma_c \Gamma_A$ , где  $\Gamma_c$  — второй момент в случае ПС без частиц. Тогда марковское уравнение для  $\Gamma_{1,1}$  [2] примет вид

$$\Gamma_c \partial \Gamma_A / \partial z - i/2k [2(\nabla' \Gamma_c)(\nabla' \Gamma_A) - 2(\nabla'' \Gamma_c)(\nabla'' \Gamma_A) + \Gamma_c(\Delta' - \Delta'') \Gamma_A] + c \bar{s}_{1,1}(\rho' - \rho'') \Gamma_c \Gamma_A = 0, \quad (1)$$

где операторы  $\nabla'$ ,  $\Delta'$  и  $\nabla''$ ,  $\Delta''$  соответствуют переменным  $\rho' = (x', y')$  и  $\rho'' = (x'', y'')$ ,  $c$  — концентрация частиц,  $s_{1,1}(\rho' - \rho'')$  — площадь объединения геометрических теней за частицами, сдвинутыми на  $\rho' - \rho''$  относительно друг друга, усреднение  $s_{1,1}$  идет по размерам и форме частиц. Так как  $\nabla' \Gamma_c, \nabla'' \Gamma_c \sim l^{-1}$ , то  $\Gamma_A$  можно искать в виде ряда по степеням  $l^{-1}$  (фактически по степеням  $a/l$ ):  $\Gamma_A = \Gamma_0 + \Gamma_1 + \Gamma_2 + \dots$ ,  $\Gamma_n \sim l^{-n}$ . Нетрудно записать цепочку уравнений теории возмущений для функций  $\Gamma_n$ . Очевидно, что  $\Gamma_0$  равно второму моменту  $\Gamma_a$  в случае частиц в пустом пространстве (согласно (1)  $\nabla' \Gamma_a \gg a^{-1}$ ). Таким образом, имеем:  $\Gamma_{1,1} = \Gamma_c \Gamma_a + O(a/l)$ . Аналогично, для любого момента  $\Gamma_{n,m}$  (в обозначениях [1]) получаем:  $\Gamma_{n,m} = \Gamma_{n,m}^c \Gamma_{n,m}^a + O(a/l)$ .

2. Рассмотрим марковские уравнения [2] в случае частиц в пустом пространстве (или в однородной среде). Решение уравнения для  $\Gamma_{1,1}$  известно [1]. Поэтому при широком пучке (плоская падающая волна  $U_0 = \exp(ikz)$ ) наибольший интерес имеет уравнение для четвертого момента вида  $\Gamma_4(\rho', \rho'', z) = \langle v(\rho'_1, z) v(\rho'_2, z) v^*(\rho''_1, z) v^*(\rho''_2, z) \rangle$ , где  $\rho' = (\rho'_2 - \rho'_1 + \rho''_2 - \rho''_1)/2$ ,  $\rho'' = (\rho''_2 - \rho''_1 - \rho'_2 + \rho'_1)/2$  [1]. Рассмотрим асимптотические решения марковских уравнений на примере уравнения для  $\Gamma_4$ . В безразмерных координатах  $\zeta = z/L$ ,  $\rho_1 = \rho'_1/a$ ,  $\rho_2 = \rho''_1/a$ , где  $L$  — длина трассы, имеем уравнение

$$\partial \Gamma_4 / \partial \zeta - iD \nabla_1 \nabla_2 \Gamma_4 + tS_4(\rho_1, \rho_2) \Gamma_4 = 0, \quad (2)$$